

文章编号: 0253-374X(2017)03-0377-07

DOI: 10.11908/j.issn.0253-374x.2017.03.011

# 生活垃圾焚烧炉渣集料的胶凝特征

刘 栋<sup>1,2</sup>, 李立寒<sup>1</sup>

(1. 同济大学 道路与交通工程教育部重点实验室, 上海 201804; 2. 江西省交通科学研究院, 江西南昌 330200)

**摘要:** 为研究垃圾焚烧炉渣集料(BAA)的胶凝特征, 以强度试验分析BAA的水硬性和火山灰活性, 并采用X射线荧光光谱仪、X射线衍射仪和扫描电子显微镜分析微观作用机理。结果表明, BAA含有水泥熟料矿物和活性SiO<sub>2</sub>、Al<sub>2</sub>O<sub>3</sub>, 体现出水硬性和火山灰活性特征。BAA中水泥熟料矿物遇水发生水化反应生成水化硅酸钙(C-S-H)凝胶和Ca(OH)<sub>2</sub>, 活性SiO<sub>2</sub>、Al<sub>2</sub>O<sub>3</sub>在Ca(OH)<sub>2</sub>激发作用下发生火山灰反应生成C-S-H凝胶、水化硅铝酸钙等水化产物; BAA与水泥、水混合后, 除上述反应外, 活性Al<sub>2</sub>O<sub>3</sub>在硫酸盐激发下也发生火山灰反应生成钙矾石。BAA在水泥中的火山灰反应有一定延后性。湿法处理、长时间堆放BAA的胶凝活性分别较干法处理、短时间堆放BAA低。

**关键词:** 生活垃圾焚烧炉渣集料; 胶凝特征; 微观机理; 堆放时间; 处理方法

中图分类号: U414

文献标志码: A

## Cementitious Properties of Municipal Solid Waste Incineration Bottom Ash Aggregate

LIU Dong<sup>1,2</sup>, LI Lihan<sup>1</sup>

(1. Key Laboratory of Road and Traffic Engineering of the Ministry of Education, Tongji University, Shanghai 201804, China; 2. Jiangxi Transportation Institute, Nanchang 330200, China)

**Abstract:** In order to research cementitious properties of municipal solid waste incineration bottom ash aggregate (BAA), hydraulic activity and pozzolanic activity of BAA were analyzed by strength test, and X-ray fluorescence (XRF), X-ray diffraction (XRD) and scanning electron microscope (SEM) were also used to study the microscopic mechanism. The results show that BAA consists of cement clinker mineral, active SiO<sub>2</sub> and Al<sub>2</sub>O<sub>3</sub>. BAA has hydraulic activity and pozzolanic activity. Cement clinker minerals in BAA react with water to produce calcium silicate hydrate (C-S-H) gel and Ca(OH)<sub>2</sub>. Pozzolanic reaction occurs when active SiO<sub>2</sub> and Al<sub>2</sub>O<sub>3</sub> are activated by Ca(OH)<sub>2</sub> to form hydration

products like C-S-H gel and calcium silicoaluminate hydrate. When BAA mixes with water and cement, besides the reactions mentioned above, pozzolanic reaction also occurs when active Al<sub>2</sub>O<sub>3</sub> is activated by sulfate to form ettringite. Pozzolanic reaction of BAA in cement delays to some extent. Wet-processed BAA shows lower cementitious properties than dry-processed BAA, and BAA with longer weathering time also has lower cementitious properties.

**Key words:** municipal solid waste incineration bottom ash aggregate; cementitious properties; microscopic mechanism; weathering time; treatment

生活垃圾焚烧炉渣经处理后为垃圾焚烧炉渣集料(BAA), 具备一定级配和强度, 可用作土木工程材料。BAA由熔渣、陶瓷、玻璃、砖石、金属和未燃物等多种物质组成, 矿物成分复杂<sup>[1]</sup>, 具备一定化学活性<sup>[2-4]</sup>。BAA作为混合材生产水泥的相关研究表明<sup>[2-4]</sup>, 这种生态水泥的工程性能、环境影响均可满足相关要求, 具有推广前景。但这需要在应用前对BAA进行熔融、磨细等工艺的处理, 经济成本较高。BAA也可直接替代天然碎石用于水泥混凝土<sup>[5]</sup>、道路水泥稳定碎石基层<sup>[6]</sup>或沥青混合料面层<sup>[7-8]</sup>。研究表明<sup>[5-8]</sup>, 偏软弱的BAA造成水泥混凝土、沥青混合料和水泥稳定碎石的强度一般低于常规材料, 但个别掺量下BAA可能对强度存在一定贡献, 对沥青混合料的抗水损害性能有利, 这均与BAA中矿物成分在水、水泥或沥青中的物理化学反应有关。可见, BAA可能具备一定胶凝活性, 并对其资源化应用效果存在影响, 有必要对BAA胶凝特征及影响因素进行探讨。处理方法、堆放时间对BAA的矿物成分、物理力学性质均存在影响<sup>[9-10]</sup>, 可能也是胶凝活性的影响因素。

本文以BAA化学成分和矿物成分研究为基础,

收稿日期: 2016-05-09

基金项目: 江西省交通运输厅科技项目(2015C0001, 2015C0023); 浙江省住房和城乡建设厅科技项目(2014Z079)

第一作者: 刘栋(1987—), 男, 工程师, 工学博士, 主要研究方向为道路工程结构与材料. E-mail: zbyikun@163.com

通讯作者: 李立寒(1957—), 女, 教授, 博士生导师, 主要研究方向为道路工程结构与材料. E-mail: lhli@tongji.edu.cn

探讨 BAA 在水、水泥环境中的水硬性和火山灰活性,分析 BAA 胶凝特征的影响因素与作用机理,为 BAA 的资源化应用提供技术参考.

## 1 试验材料与试验方法

### 1.1 原材料

BAA 分别取自上海市和杭州市某生活垃圾焚烧发电厂,均采用炉排炉焚烧工艺. 共多个生产批次,其中以跳汰摇床工艺<sup>[9]</sup>处理得到的为湿法 BAA (S-1),以涡电流分选工艺<sup>[9]</sup>处理得到的为干法 BAA,分别以 G-1~G-4 为代号. BAA 在实验室内避雨堆放、自然风干,堆放 90 d 左右时的筛分试验结果见图 1.

水泥:江苏太仓产海螺牌 32.5 级复合硅酸盐水泥.

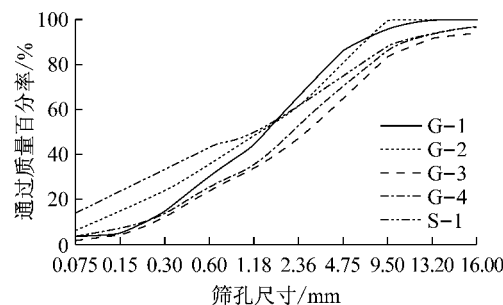


图 1 BAA 筛分试验结果  
Fig. 1 Grading curves of BAA

### 1.2 试件准备与试验方法

BAA 烘干、研磨至规定细度后分别采用 X 射线荧光光谱仪、X 射线衍射仪进行 XRF 分析、XRD 分析.

BAA 与水拌合后直接成型试件. 试件无侧限抗压强度主要由 BAA 间的粘结力提供,而此粘结力与 BAA 中活性物质在水作用下形成的水化产物种类及数量有关,据此分析 BAA 的水硬性. 依据 BAA 重型击实试验确定的最大干密度和最佳含水率(本文省略此数据)静压成型  $\phi 10 \text{ cm} \times 10 \text{ cm}$  圆柱体试件,密封养生至一定龄期时测试无侧限抗压强度,加载速率为  $1 \text{ mm} \cdot \text{min}^{-1}$ .

BAA 替代标准砂制备炉渣砂浆小梁试件,采用干法 BAA 制备的砂浆为干法炉渣砂浆,湿法 BAA 制备的为湿法炉渣砂浆. 依照《水泥胶砂强度检验方法(ISO 法)》<sup>[11]</sup>(GB /T 17671—1999)准备试件并测试试件强度,据此分析 BAA 的火山灰活性.

采用扫描电子显微镜对 BAA 和炉渣砂浆的微观形貌进行 SEM 观测.

## 2 试验结果与分析

### 2.1 BAA 的化学成分与矿物成分

堆放 90 d 左右、干法 BAA 的 XRF 分析结果见表 1,  $w$  表示各化学成分所占的质量百分率. 由表 1 可见, BAA 的主要化学成分为  $\text{SiO}_2$ 、 $\text{Al}_2\text{O}_3$ 、 $\text{CaO}$  和  $\text{Fe}_2\text{O}_3$ , 总量均在 70.0% 左右.

表 1 BAA 的主要化学成分  
Tab. 1 Main chemical composition of BAA

代号	质量百分率 $w/\%$											
	$\text{SiO}_2$	$\text{Al}_2\text{O}_3$	$\text{CaO}$	$\text{Fe}_2\text{O}_3$	$\text{MgO}$	$\text{P}_2\text{O}_5$	$\text{Na}_2\text{O}$	$\text{K}_2\text{O}$	$\text{ZnO}$	$\text{SO}_3$	$\text{Cl}$	烧失量
G-1	20.7	6.9	38.7	4.1	2.3	5.5	1.7	1.5	0.6	3.8	3.9	9.1
G-2	19.4	6.2	39.0	4.3	2.5	5.8	1.7	1.5	0.6	3.0	3.4	—
G-3	22.5	7.1	36.8	4.5	2.3	4.7	2.0	1.8	0.4	3.2	4.0	5.9
G-4	21.2	6.1	37.8	4.5	2.3	4.7	1.9	1.8	0.5	4.0	4.2	7.3

堆放 90 d 左右 BAA 的 XRD 图谱见图 2. 由图 2 可见, 干法 BAA 的矿物成分相似, 主要为  $\text{SiO}_2$ 、 $\text{CaCO}_3$ 、 $2\text{CaO} \cdot \text{SiO}_2$  ( $\text{C}_2\text{S}$ )、 $3\text{CaO} \cdot \text{SiO}_2$  ( $\text{C}_3\text{S}$ )、 $3\text{CaO} \cdot \text{Al}_2\text{O}_3$  ( $\text{C}_3\text{A}$ )、水化硅酸钙( $x\text{CaO} \cdot \text{SiO}_2 \cdot y\text{H}_2\text{O}, \text{C-S-H}$ )、Friedel 盐( $\text{Ca}_4\text{Al}_2\text{O}_6\text{Cl}_2 \cdot 10\text{H}_2\text{O}$ )、 $\text{CaSO}_4$  和  $\text{KCl}$ 、 $\text{NaCl}$  等. 其中衍射角  $2\theta = 26.6^\circ$  处  $\text{SiO}_2$  特征峰形明显、尖锐, 结晶程度较高, 而  $2\theta = 20.9^\circ$  和  $50.1^\circ$  处  $\text{SiO}_2$  特征峰较弱, 表明其处于非结晶状态, 可能具有活性. 少量  $\text{C}_3\text{S}$ 、 $\text{C}_2\text{S}$  及  $\text{C}_3\text{A}$  等水泥熟料矿物是由垃圾中  $\text{SiO}_2$ 、 $\text{CaO}$ 、 $\text{Al}_2\text{O}_3$  等化学成

分在高温焚烧过程中反应生成的. 与干法 BAA 不同, 湿法 BAA 的 XRD 图谱中存在  $\text{KCl}$ 、 $\text{NaCl}$  衍射峰, 表明其氯盐含量较高. 这是因为在跳汰摇床工艺处理过程中, 污水溶解并聚集了 BAA 中的氯盐, 在长时间浸泡过程中被富含孔隙结构的熔渣吸附.

不同堆放时间 BAA(G-1) 的 XRD 图谱见图 3. 由图 3 可见, 随着堆放时间延长, 衍射角  $2\theta = 18.0^\circ$  和  $34.1^\circ$  处  $\text{Ca}(\text{OH})_2$  衍射峰强度减弱, 而  $2\theta = 29.3^\circ, 39.4^\circ, 47.4^\circ$  和  $48.4^\circ$  处  $\text{CaCO}_3$  衍射峰增强;  $2\theta = 27.6^\circ$  处  $\text{C}_3\text{S}$  衍射峰减弱;  $2\theta = 50.1^\circ$  处活性  $\text{SiO}_2$

衍射峰减弱,而 $2\theta=26.6^\circ$ 处 $\text{SiO}_2$ 衍射峰则没有明显变化。另外,堆放1 d BAA中检测到少量活性 $\text{Al}_2\text{O}_3$ ,而在其他BAA中未检测到。这表明,BAA中 $\text{Ca}(\text{OH})_2$ 在堆放过程中与空气中 $\text{CO}_2$ 发生碳化反应生成 $\text{CaCO}_3$ , $\text{C}_3\text{S}$ 与水发生水化反应生成C-S-H凝胶,活性 $\text{SiO}_2$ 和 $\text{Al}_2\text{O}_3$ 参与生成新生矿物,而非活性 $\text{SiO}_2$ 结晶良好、未参与生成矿物。总体来看,

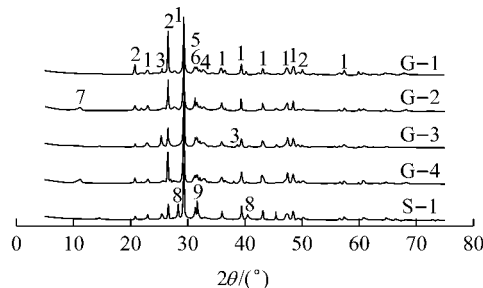
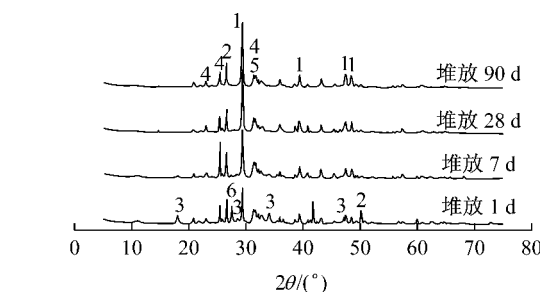


图2 BAA的XRD图谱  
Fig.2 XRD patterns of BAA

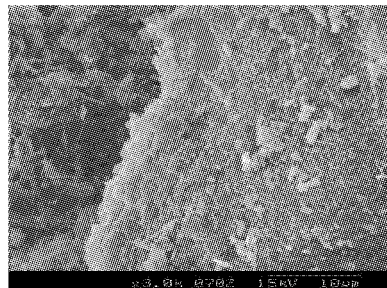


1— $\text{CaCO}_3$ ; 2— $\text{SiO}_2$ ; 3— $\text{Ca}(\text{OH})_2$ ; 4— $\text{CaSO}_4$ ; 5— $\text{C}_3\text{S}$ ; 6— $\text{C}_2\text{S}$

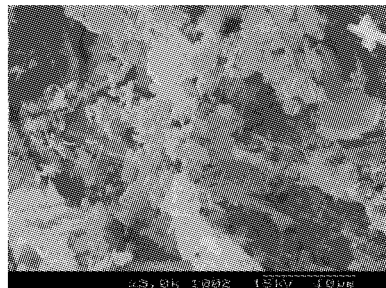
图3 不同堆放时间 BAA 的 XRD 图谱  
Fig.3 XRD patterns of BAA at different weathering time

XRD图谱中馒头状衍射峰随堆放时间而减少,表明BAA中无定形结构矿物减少,结晶良好的矿物增多。

堆放7 d和90 d熔渣颗粒微观形貌(放大3 000倍)见图4。可见,堆放7 d熔渣颗粒表面覆盖了大量细絮针状C-S-H凝胶,堆放90 d熔渣颗粒表面覆盖着较大尺寸的 $\text{CaCO}_3$ ,针状钙矾石及其他片状、棒状或颗粒状结晶较好的矿物。



a 堆放 7 d



b 堆放 90 d

图4 不同堆放时间熔渣SEM图  
Fig.4 SEM photos of BAA at different weathering time

## 2.2 BAA的水硬性

### 2.2.1 强度试验结果与分析

采用堆放28 d的BAA成型试件,其无侧限抗压强度试验结果(表2)表明,BAA试件具备一定强度,且随养生龄期而增大,湿法BAA试件的无侧限抗压强度明显低于干法BAA试件。分别采用堆放7,28,60和120 d的BAA(G-1)成型试件,其无侧限抗压强度试验结果(表3)表明,在相同养生龄期下,试件的无侧限抗压强度随BAA的堆放时间而降低。这表明,BAA加水生成凝胶物质,这些水化产物将松散的BAA颗粒粘结成整体,试件形成强度,且养生时间越长,水化产物增多,试件强度提高;湿法BAA试件中水化产物较少,其水硬性弱于干法BAA;BAA的水硬性随其堆放时间而减弱。

表2 BAA试件无侧限抗压强度

Tab.2 Unconfined compressive strength of BAA specimen

试件养生 时间/d	试件无侧限抗压强度/MPa				
	G-1	G-2	G-3	G-4	S-1
7	0.75	0.83	0.63	1.04	0.22
28	1.13	1.04	0.98	1.50	0.37

表3 不同堆放时间 BAA 试件无侧限抗压强度

Tab.3 Unconfined compressive strength of BAA specimen at different weathering time

试件养生 时间/d	BAA试件无侧限抗压强度/MPa			
	7 d	28 d	60 d	120 d
7	1.18	0.75	0.37	0.27
28	1.71	1.13	0.63	0.50

### 2.2.2 水化产物分析

采用堆放1 d的BAA(G-1)成型试件,分别在未养生及养生7 d时敲碎,取试件内部颗粒,经磨细后

进行XRD分析,结果见图5。由图5可见,BAA试件经养生7 d后,衍射角 $2\theta=27.4^\circ$ 处 $C_2S$ , $31.6^\circ$ 处 $C_2S$ 和 $C_3S$ , $20.8^\circ$ 和 $50.1^\circ$ 处活性 $SiO_2$ , $18.1^\circ$ 和 $34.1^\circ$ 处 $Ca(OH)_2$ 的衍射峰强度均降低。这表明,养生过程中,BAA中的 $C_2S$ 和 $C_3S$ 在拌合水作用下发生水化反应,活性 $SiO_2$ 在 $Ca(OH)_2$ 激发下发生火山灰反应。

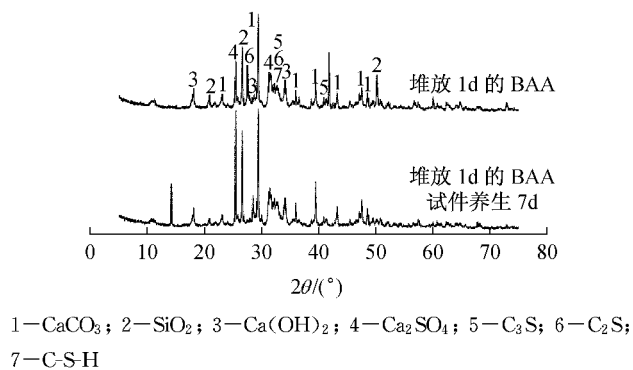


图5 BAA的XRD图谱  
Fig.5 XRD patterns of BAA

## 2.3 BAA的火山灰活性

### 2.3.1 强度试验结果与分析

采用堆放90 d左右的BAA配制炉渣砂浆试

件,其强度试验结果见图6。分析数据,砂浆抗折强度和无侧限抗压强度由大到小排序均为:标准砂浆>干法炉渣砂浆(G-1,G-2,G-3)>湿法炉渣砂浆(S-1)。BAA抗压碎强度较低,部分BAA颗粒在强度试验中发生破碎,导致炉渣砂浆试件强度较低。而湿法BAA中氯盐含量高,与水泥水化产物发生反应,对水泥水化、水化产物凝结硬化产生不利影响,抑制炉渣砂浆强度形成。

以不同养生龄期标准砂浆的强度作为100%,计算炉渣砂浆试件强度与标准砂浆强度的比值,即抗压强度比和抗折强度比,该指标越大,表明炉渣砂浆与标准砂浆的强度差距越小。根据图6b,计算炉渣砂浆的抗压强度比,见表4。可见,随着养生时间延长,干法炉渣砂浆的抗压强度比增大,BAA越有利于砂浆强度形成。

分别采用堆放1,7,28和60 d的BAA(G-2)配制炉渣砂浆试件,其28 d强度试验结果见表5。由表5可见,抗压强度比、抗折强度比均随BAA堆放时间而降低。这表明BAA的火山灰活性随其堆放时间而降低。

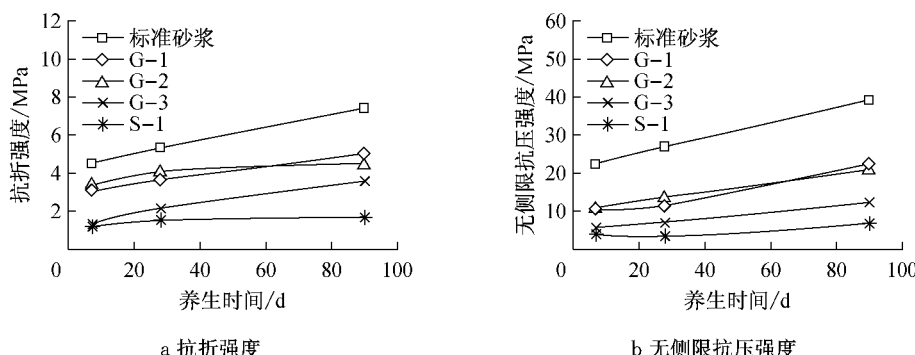


图6 炉渣砂浆的强度试验结果  
Fig.6 Strength test results of mortar containing BAA

表4 炉渣砂浆的抗压强度比

Tab.4 Ratio of compressive strength of mortar containing BAA

试件养生时间/d	标准砂浆/%	炉渣砂浆/%			
		G-1	G-2	G-3	S-1
7	100.0	47.3	49.2	25.7	18.4
28	100.0	43.7	51.0	27.1	12.9
90	100.0	56.8	54.3	32.4	17.7

### 2.3.2 水化产物分析

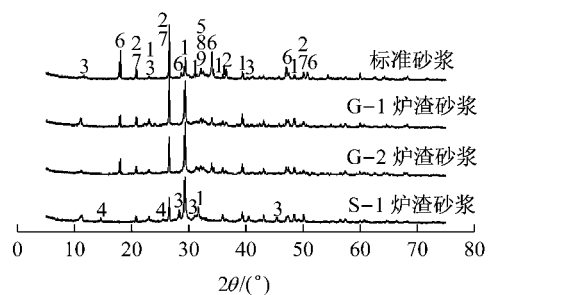
养生7 d砂浆敲碎后在研钵中轻轻磨擦,使水泥浆体脱落,经磨细后作XRD分析,结果见图7。由图可见,干法炉渣砂浆与标准砂浆存在相似衍射峰,矿物成分包含 $Ca(OH)_2$ 、C-S-H凝胶、水化硅铝酸钙、

表5 不同堆放时间炉渣砂浆的强度试验结果

Tab.5 Strength test results of mortar containing BAA at different weathering time

指标	堆放1d	堆放7d	堆放28d	堆放60d
抗折强度/MPa	5.14	4.64	3.71	3.65
抗折强度比/%	84.5	76.3	60.1	60.0
抗压强度/MPa	13.98	12.53	12.66	12.06
抗压强度比/%	60.6	54.3	54.9	52.3

$SiO_2$ 、Friedel盐及尚未发生水化反应的 $C_3S$ 和 $C_2S$ 。湿法炉渣砂浆中Friedel盐、 $CaSO_4$ 含量较高,C-S-H凝胶、 $Ca(OH)_2$ 和水化硅铝酸钙均较少。湿法炉渣砂浆SEM观察(图8,放大1000倍)发现其表面存在大量的Friedel盐晶体,针状、絮状胶凝物质较少。



1—CaCO<sub>3</sub>; 2—SiO<sub>2</sub>; 3—Friedel 盐; 4—CaSO<sub>4</sub>; 5—C-S-H; 6—Ca(OH)<sub>2</sub>; 7—水化硅铝酸钙; 8—C<sub>3</sub>S; 9—C<sub>2</sub>S

图7 炉渣砂浆 XRD 图谱

Fig.7 XRD patterns of mortar containing BAA

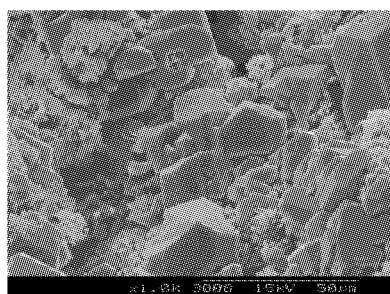


图8 湿法炉渣砂浆 SEM 图

Fig.8 SEM photos of mortar containing wet-processed BAA

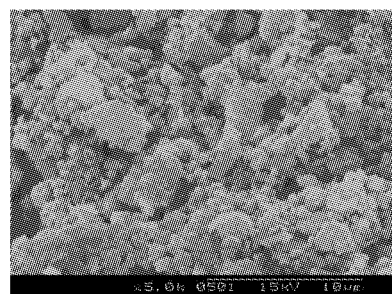
可见,湿法 BAA 中氯盐与水泥水化产物 C-S-H 凝

胶发生了反应生成 Friedel 盐,导致炉渣砂浆中凝胶物质减少、试件强度降低。

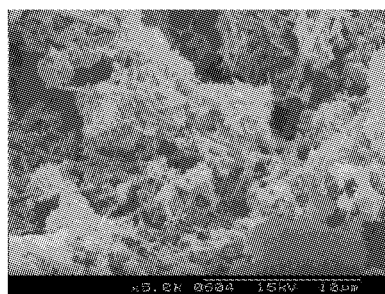
养生 7 d 标准砂浆和干法炉渣砂浆的 SEM 照片(图 9, 放大 5 000 倍)表明,养生 7d 两种砂浆的水化产物形貌差异大,标准砂浆表面致密、簇团状 C-S-H 凝胶包裹住 Ca(OH)<sub>2</sub> 晶体,而炉渣砂浆表面疏松,C-S-H 凝胶呈纤维状、交织成网。C-S-H 凝胶形状与砂浆中孔隙数量有关<sup>[12]</sup>,炉渣砂浆中微孔隙数量较多,对 C-S-H 凝胶生长限制较少,而标准砂浆中孔隙较少,限定了 C-S-H 凝胶的生长。

养生 90 d 两种砂浆表面水化产物(图 10, 放大 3 000 倍)致密性均较 7 d 时明显提高,且两者形貌相似,大量针状 C-S-H 凝胶和钙矾石裹附住片状 Ca(OH)<sub>2</sub> 和单硫型水化硫铝酸钙(AFM)。

综合强度试验和微观分析结果,砂浆养生 90 d 时 BAA 火山灰反应的水化产物增加明显,对砂浆表面水泥石结构致密性贡献更大,砂浆试件强度提高。可见,BAA 火山灰活性发挥具有一定延后性,这主要是因为养生初期网状 C-S-H 凝胶覆盖在 BAA 表面,阻碍了水泥水化产物 Ca(OH)<sub>2</sub> 与活性 SiO<sub>2</sub> 和 Al<sub>2</sub>O<sub>3</sub> 接触。



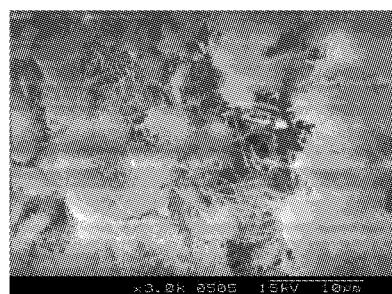
a 标准砂浆



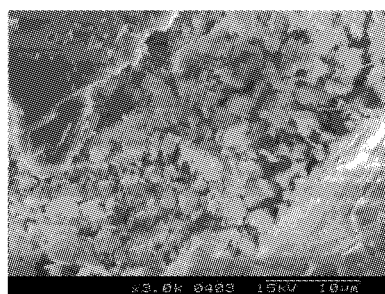
b 干法炉渣砂浆

图9 养生 7 d 砂浆 SEM 图

Fig.9 SEM photos of mortar curing for 7 days



a 标准砂浆



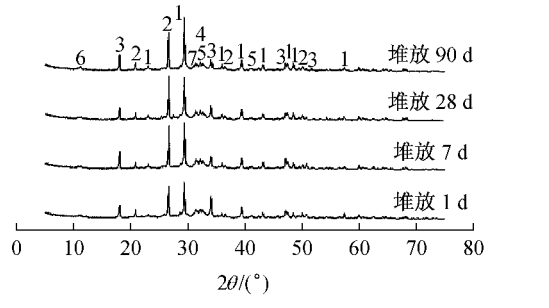
b 干法炉渣砂浆

图10 养生 90 d 砂浆 SEM 图

Fig.10 SEM photos of mortar curing for 90 days

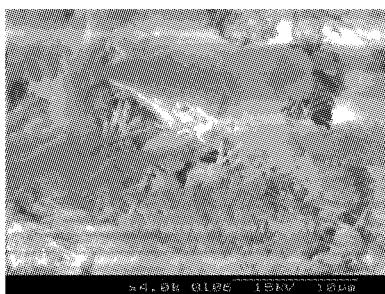
不同堆放时间 BAA(G-2)配制的炉渣砂浆试件,经养生 7 d 后进行 XRD 分析和 SEM 分析。由 XRD 图谱(图 11)可见,各炉渣砂浆中均存在  $\text{CaCO}_3$ 、 $\text{Ca}(\text{OH})_2$ 、C-S-H 凝胶、 $\text{SiO}_2$  及尚未发生水化的  $\text{C}_3\text{S}$ 、 $\text{C}_2\text{S}$  等矿物。衍射角  $2\theta = 34.0^\circ$  处,  $\text{Ca}(\text{OH})_2$  衍射峰强度随 BAA 堆放时间而降低,  $29.3^\circ$  处  $\text{CaCO}_3$  衍射峰强度则提高。由 SEM 照片(图 12, 放大倍数见各图)可见,炉渣砂浆表面水泥石致密性随 BAA 堆放时间而逐渐降低。堆放 1 d BAA 配制的炉渣砂浆存在更多水化产物,且交织为致密结构;堆放 90 d BAA 配制的炉渣砂浆表面水泥石结构较疏松、存在较多空隙。分析原因,短期堆放 BAA 中高  $\text{Ca}(\text{OH})_2$  含量提高了水泥熟料矿物水化环境的碱性,这将导致  $\text{C}_3\text{S}$ 、 $\text{C}_3\text{A}$  的水化反应速率提高,且  $\text{C}_3\text{S}$  水化反应生成碱性更高的 C-S-H 凝胶,  $\text{C}_3\text{A}$  生

成更多水化铝酸钙及钙矾石<sup>[12]</sup>;短期堆放 BAA 中  $\text{C}_2\text{S}$ 、 $\text{C}_3\text{S}$  和  $\text{C}_3\text{A}$  含量较高,这相当于增加了水泥用量,水化产物增多。

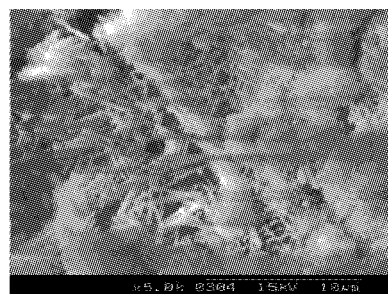


1— $\text{CaCO}_3$ ; 2— $\text{SiO}_2$ ; 3— $\text{Ca}(\text{OH})_2$ ; 4— $\text{C}_3\text{S}$ ; 5— $\text{C}_2\text{S}$ ; 6—Friedel 盐; 7—C-S-H

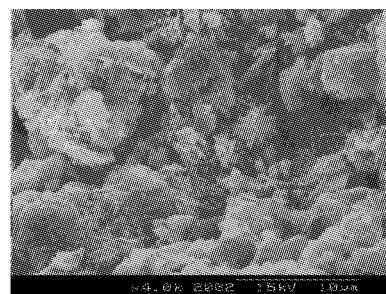
图 11 不同堆放时间 BAA 配制炉渣砂浆的 XRD 图谱  
Fig. 11 XRD patterns of mortar containing BAA at different weathering time



a 堆放 1 d



b 堆放 28 d



c 堆放 90 d

图 12 不同堆放时间 BAA 配制炉渣砂浆的 SEM 图

Fig. 12 SEM photos of mortar containing BAA at different weathering time

### 3 BAA 使用建议

BAA 具有与天然集料相似的性质,可用于道路工程的各结构层,但需根据各结构层性能要求选用合格的 BAA。BAA 可替代部分集料用于沥青混合料面层、沥青稳定基层和无机结合料稳定基层。沥青混合料对集料性质要求高,应采用长时间堆放的 BAA,以降低活性。建议增加检验 BAA 及 BAA 沥青混合料的膨胀性,保证混合料的水稳定性。BAA 的胶凝活性影响无机结合料的水化反应,进而影响无机结合料稳定基层材料的强度和变形特征<sup>[6]</sup>。不宜选用氯盐含量高的湿法 BAA,可考虑采用水洗等措施除去可溶性氯盐。BAA 用作级配碎石基层或垫层、路基填料时,其胶凝活性可能对结构层强度形成有利,可考虑采用短时间堆放的 BAA。目前 BAA 研究与应用仍不多,使用时应注意与常规材料的对比,考虑 BAA 的活性、低强度和高吸水率等特征对工程质量的影响。

### 4 结论

(1) BAA 化学成分为  $\text{SiO}_2$ - $\text{Al}_2\text{O}_3$ - $\text{CaO}$ - $\text{Fe}_2\text{O}_3$  体系,含有  $\text{CaCO}_3$ 、水泥熟料矿物、Friedel 盐等复盐、硫酸盐和氯盐等多种矿物。短期堆放 BAA 含有  $\text{Ca}(\text{OH})_2$ ,且  $\text{C}_3\text{S}$ 、活性  $\text{SiO}_2$  和  $\text{Al}_2\text{O}_3$  等无定形矿物随堆放时间而减少,湿法 BAA 中氯盐含量高于干法 BAA。

(2) BAA 具备水硬性和火山灰活性。BAA 中  $\text{C}_3\text{S}$ 、 $\text{C}_2\text{S}$  遇水发生水化反应,活性  $\text{SiO}_2$ 、 $\text{Al}_2\text{O}_3$  在  $\text{Ca}(\text{OH})_2$  激发作用发生火山灰反应;BAA 与水泥、水混合后,仍会发生上述水化反应,在水泥水化产物  $\text{Ca}(\text{OH})_2$  激发下发生的火山灰反应更强烈,活性  $\text{Al}_2\text{O}_3$  在掺入硫酸盐的激发下发生火山灰反应生成钙矾石等水化产物。

(3) 在水泥中 BAA 火山灰反应有一定延后性。养生初期网状 C-S-H 凝胶裹附在 BAA 表面,阻碍水泥水化产物与 BAA 中活性矿物成分的接触,养生

中后期水化产物增多。

(4) 处理方法和堆放时间是BAA胶凝特征的关键影响因素,湿法处理、长时间堆放BAA的胶凝活性分别较干法处理、短时间堆放BAA低。

## 参考文献:

- [1] Bayuseno A P, Schmahl W W. Understanding the chemical and mineralogical properties of inorganic portion of MSWI bottom ash[J]. Waste Management, 2010, 30(8/9):1509.
- [2] Al-Rawas A A, Hago A W, Taha R, et al. Use of incinerator ash as a replacement for cement and sand in cement mortars [J]. Building and Environment, 2005, 40(9): 1261.
- [3] 谢燕,吴笑梅,樊粤明,等.生活垃圾焚烧炉渣用作水泥混合材的研究[J].华南理工大学学报:自然科学版,2009,37(12):37.
- XIE Yan, WU Xiaomei, FAN Yueming, et al. Investigation into incineration bottom ash of municipal solid waste used as cement admixture[J]. Journal of South China University of Technology: Natural Science Edition, 2009,37(12):37.
- [4] Lin K L, Lin D F. Hydration characteristics of municipal solid waste incinerator bottom ash slag as a pozzolanic material for use in cement[J]. Cement & Concrete Composites, 2006, 28 (9): 817.
- [5] Siddique R. Use of municipal solid waste ash in concrete[J]. Resources, Conservation and Recycling, 2010, 55(2): 83.
- [6] 刘栋,李立寒,崔华杰.水泥稳定炉渣碎石基层路用性能[J].同济大学学报:自然科学版,2015,43(3):405.
- LIU Dong, LI Lihuan, CUI Huajie. Pavement performance of cement stabilized municipal solid waste incineration bottom ash aggregate and crushed stone[J]. Journal of Tongji University: Natural Science, 2015,43(3):405.
- [7] Chen J S, Chu P Y, Chang J E, et al. Engineering and environmental characterization of municipal solid waste bottom ash as an aggregate substitute utilized for asphalt concrete [J]. Journal of Materials in Civil Engineering, 2008, 20(6):432.
- [8] 刘栋,李立寒,崔华杰.炉渣集料对沥青混合料性能影响的试验研究[J].建筑材料学报,2015,18(2):307.
- LIU Dong, LI Lihuan, CUI Huajie. Experimental study on influence of municipal solid waste incineration bottom ash aggregate on properties of asphalt mixture [J]. Journal of Building Materials, 2015,18(2):307.
- [9] 邵启超,谢迎洪,汪浩.生活垃圾焚烧炉渣湿法与干法处理工艺比较[J].中国资源综合利用,2014,32(12):28.
- SHAO Qichao, XIE Yinghong, WANG Hao. Comparison between the wet and dry processes of bottom ash from municipal waste incinerator [J]. China Resources Comprehensive Utilization, 2014,32(12):28.
- [10] Chimenos J M, Fernández A I, Nadal R, et al. Short-term natural weathering of MSWI bottom ash [J]. Journal of Hazardous Materials, 2000,79(3): 287.
- [11] 国家质量技术监督局. GB/T 17671—1999 水泥胶砂强度检验方法(ISO法)[S]. 北京:中国标准出版社,1999.
- State Bureau of Quality Technical Supervision. GB/T 17671—1999 Method of testing cements-determination of strength[S]. Beijing: Standards Press of China, 1999.
- [12] 申爱琴.水泥与水泥混凝土[M].北京:人民交通出版社,2004.
- SHEN Aiqin. Cement and concrete research [M]. Beijing: China Communications Press, 2004.